

PAPER DETAILS

TITLE: Dogal tasların donma çözülme ve termal sok yaslanmasına bağlı olarak yüzey renk ve güneş ışığı yansıtma indeks (SRI) değerlerinin belirlenmesi ve ısı adası olusumlarına etkisi

AUTHORS: Murat Sert,Rasit Altindag

PAGES: 828-840

ORIGINAL PDF URL: <https://dergipark.org.tr/tr/download/article-file/4396387>



Doğal taşların donma çözülme ve termal şok yaşılanmasına bağlı olarak yüzey renk ve güneş ışığı yansıtma indeks (SRI) değerlerinin belirlenmesi ve ısı adası oluşumlarına etkisi

Determination of surface color and solar reflectance index (SRI) values of natural stones based on freeze-thaw and thermal shock aging, and their impact on heat island occurrence

Murat SERT¹, Raşit ALTINDAĞ²

¹Mermer ve Doğaltaş Teknolojisi Uygulama ve Araştırma Merkezi, Afyon Kocatepe Üniversitesi, Afyonkarahisar, Türkiye.

msert@aku.edu.tr

²Maden Mühendisliği Bölümü, Mühendislik Fakültesi, Süleyman Demirel Üniversitesi, Isparta, Türkiye.

rasaltindag@sdu.edu.tr

Geliş Tarihi/Received: 08.06.2023

Düzelme Tarihi/Revision: 26.10.2023

Kabul Tarihi/Accepted: 04.12.2023

doi: 10.5505/pajes.2023.26895

Araştırma Makalesi/Research Article

Öz

Bu çalışmada yapı sektöründe sıkılıkla kullanılan 20 çeşit magmatik kökenli doğal taş, doğada en yaygın gerçekleşen yaşıldırma etkilerinden donma çözülme ve termal şok etkilerine maruz bırakılmıştır. Yaşıldırma testleri öncesinde ve sonrasında her bir numunenin Güneş ışığı yansıtma değerleri ve güneş ışığı yayılma değerleri ölçülerek Güneş ışığı Yansıtma İndeks (SRI) değerleri hesaplanmıştır. Ayrıca numunelerin her birinin yüzey renk değerleri CIA renk indeksine göre ölçülmüş ve renk değişim (ΔE) değerleri hesaplanmıştır. Çalışmanın temel amacı doğal taşların donma çözülme ve termal şok yaşılmalarına bağlı olarak SRI ve ΔE değişimlerini belirlemek ve elde edilen bulguların ısı adası oluşumlarına etkilerini incelemektir. Çalışma sonucunda numunelerin her iki yaşıldırma deneyi sonrasında SRI değerlerinin yaşıldırma deneyleri öncesine göre daha yüksek olduğu tespit edilmiştir. ΔE değerlerine bakıldığında ise termal şok deneylerinin donma çözülme deneylerine göre daha fazla renk değişimine neden olduğu belirlenmiştir. Hem SRI değerlerindeki hem de ΔE değerlerindeki genel artışın kentsel ısı adası etkisinin azalmasına katkıda bulunacağı belirlenmiştir.

Anahtar kelimeler: Doğal taşlar, Donma çözülme, Termal şok, Isı adası, Güneş ışığı yansıtma indeksi (SRI), Renk tayini.

Abstract

In this study, 20 different types of magmatic-origin natural stones commonly used in the construction sector were subjected to the most prevalent aging effects in nature, namely freeze-thaw and thermal shock. Prior to and after the aging tests, the Solar Reflectance Index (SRI) values of each sample were calculated by measuring their solar light reflectance values and solar light scattering values. Additionally, the surface color measurements of each sample were taken according to the CIA color index, and the color change (ΔE) values were calculated. The primary objective of this study is to determine the changes in SRI and ΔE values of natural stones due to freeze-thaw and thermal shock aging and to examine the impact of the findings on the formation of urban heat islands. As a result of the study, it was determined that the SRI values of the samples were higher after both aging experiments compared to before the aging experiments. When examining ΔE values, it was found that thermal shock experiments caused more significant color changes compared to freeze-thaw experiments. It has been determined that the overall increase in both SRI and ΔE values will contribute to the reduction of the urban heat island effect.

Keywords: Natural stones, Freeze-thaw, Thermal shock, Heat island, Solar reflectance index (SRI), Color determination.

1 Giriş

Doğal taşlar, insanların kullandığı en eski yapı malzemelerinden biri olarak bilinmekte ve antik çağlardan beri sıkılıkla kullanılmaktadır. İnsanların ilk aletlerini kayalardan yaptıkları antik çağlarda, doğal taşların önemi oldukça yüksektir. Yerleşik hayatı gecilmesi ve yeni medeniyetlerin kurulmasıyla birlikte, doğal taşların önemi daha da artmış ve doğal taşlardan inşa edilen yapılar medeniyetlerin sembolü haline gelmiştir. Bu sayede binlerce yıldır ayakta duran kayalardan inşa edilmiş antik yapılar, geçmiş medeniyetlerin izini sürememizi kolaylaştmakla kalmamış yaşayış biçimlerini de anlamamızı sağlamıştır.

Doğal taşlar, günümüzde şehirlerdeki yapılarda kaplama, döşeme, heykel, anıt gibi alanlarda çok yaygın olarak kullanılmaktadır. Neredeyse sınırsız sayıda renk ve desen çeşitliliğine sahiptir. Bu çeşitliliğin yanı sıra, doğal taşların

mineral içerikleri, çevresel koşullara dayanıklılıkları ve fiziksel özelliklerindeki değişim ve çeşitlilikte oldukça fazladır. Doğal taşların çeşitliliği birçok farklı kullanım alanlarını sunmaktadır. Bunlardan en önemlilerinden biri de dış mekân kaplaması olarak kullanılmışlardır. Doğal taşların dış mekân kaplaması olarak kullanımı hangi çeşit ve fiziksel özellikte doğal taşın seçildiğine bağlı olarak Kentsel Isı Adası oluşumlarını etkilemektedir.

Kentsel ısı adası etkisi, yerleşim yerlerinin yakın çevrelerinde yer alan kırsal bölgelere (yüzeylerde ve hava ortamında) göre daha yüksek sıcaklık değerlerine sahip olmaları durumudur [1]. Gün boyunca sabit bir değere sahip olmayıp, zamana bağlı olarak değişkenlik göstermektedir [2]. Kent içindeki dağılımı da eşit düzeyde olmamaktadır. Kentsel ısı adasının şiddetli gün batımından itibaren başlayarak yüksek değerlere ulaşmaktadır. Gece saatlerindeki etkisi gündüz saatlerine göre daha yüksek olmaktadır [3].

*Yazışılan yazar/Corresponding author

Güneş Işığı Yansıtma İndeks (SRI) değerleri malzeme yüzeylerinin güneş ışınlarını ne derecede yansıtığının bir ölçütür. SRI değerleri yüksek olan yüzeyler güneşin daha fazla yansıtarak ortamı daha serin hale getirir. SRI değeri düşük olan yüzeyler ise güneş ışınlarını bünyesinde hapseder ve ışınmaya başlar. Sonrasında bu ısı termal yayılım yoluyla ortama aktarılır ve böylelikle ısı adalarının oluşumu başlar.

Doğal taşlar, yapı sektöründe sıkça kullanılan cephe kaplama malzemelerinden biridir ancak diğer malzemelere göre üretim maliyetleri ve binalara getirebildiği yükten dolayı daha az tercih edilmektedir.

Doğal taşların cephe kaplamalarındaki tercih edilme oranı, taşın çıkartıldığı bölgeye, rengine, desenine, kalitesine ve fiyatına bağlı olarak değişebilmektedir. Ayrıca, doğal taşların dayanıklılığı, sürdürülebilirliği ve estetiği, dış cephe kullanımlarında tercih edilmesinde önemli bir faktördür.

Dış mekânlarda kullanılan doğal taşların çevresel faktörlerin etkisi altındaki kulanım ömrülerini, kalitesini ve dayanıklılıklarını belirlemek amacıyla yaşandırma testleri yapılmaktadır. Bu testlerin en önemlileri donma çözülme ve termal şok testleridir. Çalışma konusu olan bu testler dışında SO₂ yıpraması ve Tuz kristalleşmesine direnç testleri de doğal taşların yaşandırma özelliklerini belirlemek için kullanılan testlerdir.

Dış mekân ve kaplama malzemesi olarak kullanılan doğal taşlar, SRI değerinin uygun seviyede olması durumunda kentsel ısı adası oluşum etkisini azaltıcı etki göstermektedir [4]. Yüksek SRI değerine sahip yüzeyler çatı kaplamaları, büyük dekoratif elemanlar ve yapı yüzeyi üzerindeki diğer taş malzemelerin, enerji emilimini azaltma yönünde bir etkiye sahip olabilmesi mümkündür. Yüksek SRI değerine sahip malzemeler özellikle serin iklimin kısa sürdüğü bölgelerde oldukça avantajlı olabilmektedir. Ağırlıklı olarak serin iklimin hâkim olduğu bölgelerde bu tür malzemelerin güneşten gelen enerjiyi yutma özelliği gösterememesi nedeniyle daha fazla ısıtma enerjisine ihtiyaç duyulmaktadır [5]. Buna karşın yaz aylarında ise oldukça önemli enerji tasarrufu sağlanabilmektedir. Dış ortam sıcaklığının yükselmesi durumunda yansıtıcı yüzeyli malzemeler oldukça büyük avantaj sağlaymaktadır. Yazın ortalama sıcaklık seviyesiyle birlikte, sıcaklığın oldukça yüksek olduğu zaman dilimlerinde, çatıların sahip olduğu yüksek SRI değerleri ortalama %10 ile %30 arasında bir enerji tasarrufu sağlayabilmektedir [6]-[8].

Beyaza yakın renge (açık renkler) sahip yüzeylerin güneş ışığını yansıtma özelliğinin siyah (koyu renkler) yüzeylerden daha fazla olması nedeniyle, ısı adaları (ve SRI) oluşumunun malzeme yüzeyinin rengiyle yakından ilişkili olduğu bilinmektedir. Fakat, renk faktörünün ısı adalarının oluşumunun tahmin edilmesinde önemli bir etken olmasına rağmen tek başına belirleyici değildir. SRI malzemenin rengi, bileşimi, yüzey dokusu ve oryantasyonu (döşeme yönü) gibi üç ana faktörden etkilenmektedir. Malzemenin yaşlanması (bozulması), hava ve renk değişikliği sonucu zaman içinde malzemenin SRI değerini değiştirebilmektedir. Bir malzemenin SRI değerinin hesaplanması genelde güneşin yansıtma ve ışısız yayılım değerlerinin bilinmesi gerekmektedir. Malzemenin güneşin yansıtma özelliği, güneş tarafından yayılan enerjinin yansıtılması anlamına gelmektedir. Bu parametre, 0 ile 1 arasındaki bir ölçekte artan değere paralel olarak artan yansıtılma seviyesini tanımlamaktadır. Güneş yansıtılmasında renk her zaman doğru bir belirleyici olmasa da malzeme rengi daha koyu hale geldikçe, yansıtma özelliği de belirli oranda

azalma eğilimi göstermektedir. Isı yayılımı ise malzemenin ısıyı serbest bırakabilme yeteneği olarak tanımlanabilmektedir. Güneş yansıtma benzer şekilde, ısı yayılımı da 0 ile 1 arasındaki bir ölçekte artan değere bağlı olarak yutulan enerjinin serbest bırakılmasındaki artışı temsil etmektedir. Bununla birlikte düşük ısı yayılım özelliğini gösteren malzemeler, güneş ışığı yansıtma özelliğinin yüksek seviyede olması durumunda güneş etkisi altında kısmen daha serin yüzeyle sahip olabilmektedir [8].

Termal konfor kavramı insanların yaşadığı ortamın iklimsel koşullarının ne çok soğuk ne de çok sıcak olması halidir [9]. Bu durum cinsiyet, yaş, sağlık durumu gibi birçok faktöre bağlı olmakla birlikte genel anlamda çevresel ve kişisel parametreler olarak sınıflandırılabilir. Kişisel parametreler; kıyafetin ıslı direnci ve aktivite seviyesidir. İç mekânlardaki ortam parametreleri ise hava sıcaklığı, hava hızı, iç yüzey sıcaklığı ve bağıl nemdir [10].

Kentsel ısı adası kavramı yerel insan kaynaklı iklim değişikliğinin en iyi bilinen temel nedenlerinden biridir ve kısaca kent içindeki sıcaklığın eş zamanda, çevresindeki kırsal alandan daha yüksek olması olarak tanımlanmaktadır. Bu sıcaklık farkının birçok nedeni olmakla birlikte en önemli nedenlerinden biri kentsel alandaki arazi örtüsündeki değişikliklerdir [11],[12].

Kentsel ısı adalarının insan sağlığı üzerinde önemli etkileri olduğu bilinmektedir. Aşırı sıcak hava nedeniyle ölüm oranları artabilmekte ve bu durumun önüne geçebilmek için ısı adalarının azaltılması konularında tedbirler alınmaktadır. Bu nedenle binalar henüz inşaat halindeyken hangi özelliklerdeki kaplama malzemelerinin kullanılacağı konularının dikkate alınarak inşa edilmesi gerekmektedir.

Kentsel ısı adası oluşumunun sonucunda; ortamlardaki hava kalitesinin düşmesi, binaların soğutulması için enerji tüketimlerinin artması, soğutma sistemlerinin yoğun kullanımına bağlı elektrik dağıtım şebekelerinde arızalar meydana getirmektedir. Ayrıca rüzgâr, nem ve yağış rejimlerinde değişimler meydana gelmektedir. Öte yandan risk grubu taşıyan hastalarda ve yaşılı insanlarda, sıcak hava dalgalarının yaşadığı günlerde ciddi sağlık sorunlarına ve ölümlere yol açmaktadır [13]-[15].

İnsan kaynaklı ısı adaları ve sera gazlarının emisyonları iklim sistemimizi değiştirerek sıcak hava dalgaları kuraklıklara ve orman yangınlarının artışına neden olmaktadır [16],[17]. Küresel ısınmanın coğulukla insan kaynaklı olarak meydana gelmesinin anlaşılmasıından bu yana (1950 yılı itibarıyle), olumsuz etkilerinin önlenmesine yönelik dünya çapında irili ufaklı konferanslar ve bilinçlendirme toplantıları düzenlenmiştir [18].

Şehirler insanların bir arada olarak en yoğun yaşadığı yerlerdir. Küresel nüfusun artan bir oranda kentsel alanlarda yaşaması şehirleri iklim değişikliği ile mücadelede en önemli endişe kaynağı haline getirmiştir. İnsan kaynaklı iklim değişikliği olaylarının sıklığı küresel ölçekte artış göstermektedir. Şehirlerdeki yapılmalarda kullanılan kaplama malzemelerinin güneş ışınlarını yansıtamaması ve bünyesinde hapsetmesi aşırı yüksek sıcaklıklarda ısı adalarının oluşmasına neden olmaktadır. Şehirlerdeki nüfus artışlarının, sürdürülebilir olmayan yapışmanın ve sanayileşmenin getirdiği karbon emisyonları artışından dolayı oluşan ısı adalarındaki artış, ekosistemlerin ve toplulukların başa çıkamayacağı geri dönülmek zorlu felaketlere neden olmaktadır.

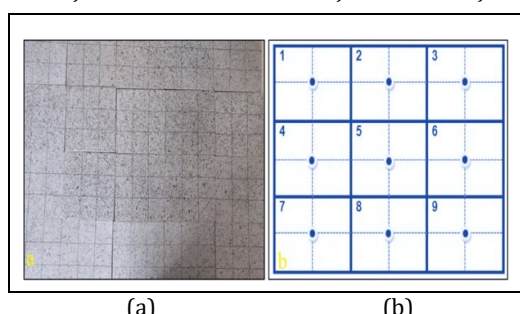
Cephe kaplamalarında kullanılan doğal taşlar kış aylarında donma çözülme, yaz aylarında ise termal şok etkilerine maruz kalmakta ve bu etkiler sonucu bozulmaya uğramaktadır. Doğal taşlar bozulmaya uğradıkça yüzey renk özelliklerinde ve SRI değerlerinde değişiklikler meydana gelmektedir.

Küresel sıcaklık ortalamalarının her yıl artması, dünya genelinde ani iklim değişikliklerine yol açmaktadır. Bu durum, insanlar ve diğer canlılar üzerinde olumsuz etkilere neden olmaktadır. Küresel ısınmanın kontrol altına alınması için uluslararası düzeyde birçok anlaşma yapılmış ve kısa, orta ve uzun vadeli hedefler belirlenmiştir. Bu hedefler arasında, gereksiz tüketimi önlemek ve güneş enerjisinden mümkün olduğunda fazla faydalananın önemli bir yer tutmaktadır.

Güneş ışığı yansıtma indeksi (SRI), bir malzemenin güneş ışınlarını ne ölçüde yansıtıldığını ifade eden bir ölçütür ve binalar ile diğer şehir yapılarının enerji verimliliğini belirlemeye önemli bir faktör olarak değerlendirilmektedir. Düşük SRI değerine sahip malzemeler, güneş ışınlarını yeterince yansıtamazlar. Şehir yaşam alanlarında genellikle sentetik yapıyı yapay malzemelerin kullanılması, bu malzemeler tarafından ısıyı büyük ölçüde emmesine neden olur. Emilen bu ısı, ortama geri yayılarak ısı adalarının oluşmasına yol açar. Isı adaları, yayılan havanın sıcaklığına bağlı olarak hava kalitesini ve ekosistemi olumsuz yönde etkileyen bir etki gösterir. Yüksek SRI değerine sahip yapı ve kaplama malzemeleri, güneş ışınlarını daha iyi yansıtarak içlerinde tuttukları ısı miktarını azaltırlar. Şehir yaşam alanlarında yüksek SRI değerine sahip malzemelerin kullanılması, iklimlendirme için kullanılan enerjiyi azaltmadır ve şehirsel ısı adalarının oluşumunu engellemeye önemli bir rol oynamaktadır. Bu çalışmada 20 çeşit magmatik kökenli doğal taşın donma çözülme ve termal şok testleri öncesinde ve sonrasında meydana gelen SRI ve renk değişimleri incelenmiştir. Meydana gelen bu değişim miktarları ve ısı adası oluşumuna etkileri irdelenmiştir.

2 Malzeme ve yöntem

Çalışma kapsamında gerçekleştirilen Donma Çözülme ve Termal Şok yaşılandırma testleri, doğal taşların gerçek iklim koşullarındaki davranışlarını incelemek için yapılan laboratuvar testleridir. Yaşılandırma ölçümleri yapılan numunelerin renk (L, a, b) ve SRI (β ve ϵ) ölçümleri Şekil 1(a) ve Şekil 1(b)'de belirtildiği şekilde yapılmıştır. Ölçümlerin olabildiğinde homojen olarak alınabilmesi için numunelerin yüzeyleri eşit bir şekilde karelajere bölünerek karelaj oluşturulmuş ve orta noktalarından ölçümler alınmıştır.



Sekil 1(a): Numune yüzeylerinde oluşturulan karelaj ve (b): Karelaj üzerinde belirlenen ölçüm noktaları.

Figure 1(a): Grid formed on the sample surfaces, and (b): measurement points determined on the grid.

Her bir yaşılandırma deneyinin gerçekleştirilmesinde 6'şar adet 150*150*20 mm boyutlarında ve fabrikadan çıktıgı şekliyle honlanmış ve/veya cilalanmış yüzey işlemeli numuneler kullanılmıştır.

Her bir doğal taş numunesi üzerinde Şekil 1'de gösterilen karelajın tam orta noktalarından 9'ar adet renk (L, a, b) ve SRI hesaplamaları için β ve ϵ ölçümleri yapılmıştır. Her bir kayaç örneğinden toplam 12 adet numune (donma-çözülme ve termal şok için 6'şar adet) hazırlanmış ve her bir numune üzerinde hem yaşılandırma testleri öncesinde 9'ar adet hem de yaşılandırma testleri sonrasında 9'ar adet olmak üzere toplamda her bir parametre için 108 adet ölçüm yapılmıştır. Çalışma kapsamında kullanılan 20 farklı doğal taş; renk (L, a, b) ölçümleri ve SRI hesaplamalarında kullanılan β ve ϵ ölçüm parametrelerinin her biri için 4320 adet olmak üzere toplamda 12960 ölçüm yapılmıştır.

2.1 Malzeme

Bu çalışmada Türkiye'deki yapıların dış cephe ve dış zemin kaplamalarında yaygın olarak kullanılan 8 çeşit yerli, 12 çeşit ithal olmak üzere toplam 20 çeşit magmatik kökenli doğal taş kullanılmıştır. Kullanılan doğal taşların her biri için TS EN 12407 (2019) standarı [19] esas alınarak ince kesitler hazırlanmış ve polarizen mikroskop tanımlamaları yapılarak petrografik isimleri belirlenmiştir (Tablo 1).

Tablo 1. Numunelerin mikroskopik tanımlamaları [4]

Table 1. Microscopic descriptions of the samples.

Numune Kodu	Kayaç Adı	Ana Mineraller
N1	Alkalen Granit	Alkali feldspat, plajiolkaz kuvars, biyotit
N2	Alkalen Granit	Kuvars, alkali feldspat, plajiyoklaz, biyotit, amfibol
N3	Kalko Alkalen Granit	Alkali feldspat, plajiolkaz kuvars, biyotit
N4	Kalko Alkalen Granit	Alkali feldspat, plajiolkaz kuvars, piroksen, amfibol
N5	Kalko Alkalen Granit	Kuvars, ortoklaz, amfibol, egirinojİt
N6	Kuvarslı Monzonit	Alkali feldspat, plajiolkaz, kuvars, amfibol, biyotit, piroksen
N7	Granodiyorit	Plajiolkaz, alkali feldspat, kuvars, biyotit, amfibol
N8	Granodiyorit	Plajiolkaz, kuvars, alkali feldspat, biyotit, amfibol
N9	Labradorit	Plajiolkaz, piroksen, olivin
N10	Gabro	Plajiolkaz, piroksen, biyotit, kuvars
N11	Gabro	Plajiolkaz, piroksen, biyotit
N12	Serpantinit-Peridotit	İlkisel mineralojik bileşimin kaybetmiş
N13	Dolerit (Diyabaz)	Plajiolkaz, piroksen
N14	Bazalt	Plajiolkaz, piroksen, olivin
N15	Traki Andezit	Plajiolkaz, opasitlemiş biyotit, piroksen, olivin
N16	Andezit	Amfibol, piroksen, plajiyoklaz
N17	Meta Granit	Plajiolkaz, kuvars, mika (muskovit, biyotit)
N18	Gnays	Kuvars, mikrolin, plajiyoklaz, biyotit, granat
N19	Granatlı Gnays	Kuvars, ortoklaz, mikrolin, plajiyoklaz, granat
N20	Granatlı Hornblendit	Amfibol, granat

Sıralamalar yapılırken numunelerin XRF yöntemiyle elemental bileşimlerinin tayini ile XRD yöntemiyle mineralojik bileşim tayini sonuçlarından da faydalananmış olup derinlik, yarı derinlik ve yüzey kayacı şeklinde gruplandırılarak sıralama yapılmıştır.

2.2 Yöntem

2.2.1 Renk tayini

Numunelerin renk ölçümleri ASTM D2244 (2017) standardı [20] esas alınarak yapılmış olup, PCE-XXM 20 marka renk ölçüm cihazı yardımıyla KYM (kırmızı, yeşil, mavi) değerleri ölçülmüştür. Cihaz ölçüm yapmadan önce üzerinde bulunan kalibrasyon plakası ile kalibre edilmiştir. Ölçümler öncesi kalibrasyon işlemi, her 1 saatte veya ortam sıcaklığı $\pm 5^{\circ}\text{C}$ değiştiğinde tekrarlanmıştır.

$$X = 0.4124 \left(\frac{R+0.055}{1.055} \right)^{2.4} + 0.3576 \left(\frac{G+0.055}{1.055} \right)^{2.4} + 0.1805 \left(\frac{B+0.055}{1.055} \right)^{2.4} \quad (1)$$

$$Y = 0.2126 \left(\frac{R+0.055}{1.055} \right)^{2.4} + 0.7152 \left(\frac{G+0.055}{1.055} \right)^{2.4} + 0.0722 \left(\frac{B+0.055}{1.055} \right)^{2.4} \quad (2)$$

$$Z = 0.0193 \left(\frac{R+0.055}{1.055} \right)^{2.4} + 0.1192 \left(\frac{G+0.055}{1.055} \right)^{2.4} + 0.9505 \left(\frac{B+0.055}{1.055} \right)^{2.4} \quad (3)$$

X, Y ve Z değerleri, ASTM D2244 Standardına göre floresan değerleridir (X_n : 103.28, Y_n : 100 ve Z_n : 69.026). L, a ve b değerlerini elde etmek için (Eşitlik 4-6) kullanılmıştır.

$$L = 116 \left(\frac{Y}{Y_n} \right)^{\frac{1}{3}} - 16 \quad (4)$$

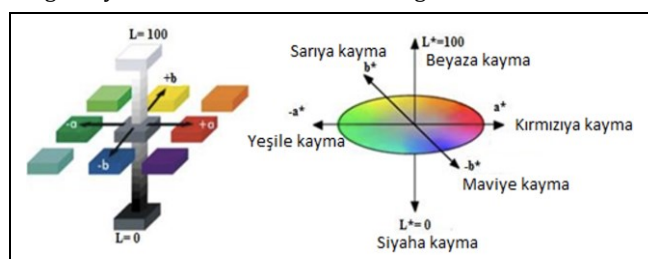
$$a = 500 \left[\left(\frac{X}{X_n} \right)^{\frac{1}{3}} - \left(\frac{Y}{Y_n} \right)^{\frac{1}{3}} \right] \quad (5)$$

$$b = 200 \left[\left(\frac{Y}{Y_n} \right)^{\frac{1}{3}} - \left(\frac{Z}{Z_n} \right)^{\frac{1}{3}} \right] \quad (6)$$

Yukarıdaki eşitlikler yardımıyla elde edilen L, a ve b değerleri kullanılarak (Eşitlik 7) yardımıyla renk değişim seviyeleri hesaplanmıştır.

$$E_{\text{Lab}} = \sqrt{(\Delta L)^2 + (\Delta a)^2 + (\Delta b)^2} \quad (7)$$

ΔE (toplam renk farkı) delta L^* , delta a^* ve delta b^* renk değerlerindeki değişimde dayanır ve bu değişim değerlerinin tamamı, dikdörtgen bir koordinat sistemi üzerinde (Şekil 2) rengin sayısal olarak tanımlanmasını sağlar.



Şekil 2. Doğal taş numunelerinin renk analizinde kullanılan ve CIE Lab. renk uzayı

Figure 2. CIE Lab color space used in the color analysis of natural stone samples.

Simgeler aşağıdaki gibi ifade edilir:

ΔL^* : Numune ve standart renkler arasındaki açıklık (beyazdan siyaha) farkını temsil etmektedir,

- Δa^* : numune ve standart renkler arasındaki kırmızılık veya yeşillik farkını temsil etmektedir,
- Δb^* : numune ve standart renkler arasındaki mavilik-sarılık farklarını belirtmektedir.

ΔE , 0'dan 100'e kadar bir ölçekte hesaplanmaktadır. Burada 0, renk farkının daha az olmasıdır ve 100, tam bozulma anlamına gelmektedir. Hesaplamlar sonucu belirlenen ΔE değerleri Tablo 2'de belirtildiği gibi ifade edilmektedir.

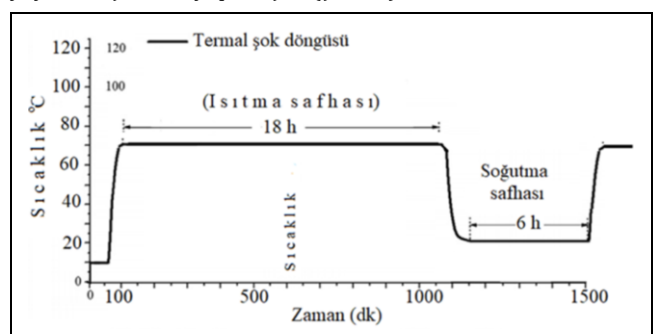
Tablo 2. ΔE değer aralıklarının standart ifade biçimleri [21'den modifiye edilmiştir].

Table 2. Standard expressions of ΔE value ranges.

ΔE (Renk Farkı)	Standart Algı	Sınıf
≤ 1	İnsan gözüyle algılanamaz	A1
1-2	Yakın gözlem yoluyla algılanabilir	A2
2-10	Bir bakışta algılanabilir	A3
10-49	Renkler zittan daha benzer	A4
49-100	Renkler tam tersi	A5

2.2.2 Termal şok etkisi ile yıpranmaya direncin tayini

Doğal taşlar üzerinde meydana gelen ani sıcaklık değişimleri termal şok etkisi olarak adlandırılmaktadır. Termal şok doğal taşların diferansiyel ısıl genleşmesi ve büzülmesinin bir sonucudur [22]. Çalışma kapsamında gerçekleştirilen termal şok deneyleri TS EN 14066 (2015) standarı [23] esas alınarak belirlenmiştir. Termal şok çevrimleri öncesinde numune yüzeylerinin renk ölçümleri ile güneş ışığı yansıtma ve ısı yayılma ölçümleri yapılmıştır. Sonrasında 70°C sıcaklıkta 18 saat; takiben 20°C sıcaklığındaki saf su içerisinde 6 saat süreyle bekletilen örnekler 20 çevrim tamamlandıktan sonra sabit tartıma kadar kurutulmuş ve tekrar güneş ışığı yansıtma ve ısı yayılma ölçümleri yapılmıştır (Şekil 3).



Şekil 3. Termal şok etkisi ile yıpranmaya direncin tayini akış şeması [23].

Figure 3. Flowchart for determining resistance to wear by thermal shock effect [23].

2.2.3 Dona dayanım tayini

Laboratuvar ortamında gerçekleştirilen donma çözülme çevrimleri tam otomasyona sahip cihazlar ile gerçekleştirilmştir. Örneklerin dona dayanım tayinleri TS EN 12371 (2011) Standardı [24] esas alınarak belirlenmiştir. Donma-çözülme çevrimleri öncesinde numuneler yıkanmış ve 70°C 'de sabit tartıma gelene kadar kurutularak oda sıcaklığında soğumaya bırakılmıştır. Donma-çözülme çevrimlerine başlamadan önce numunelerin yüzey renk ölçümleri ile güneş ışığı yansıtma ve ısı yayılma ölçümleri yapılmıştır. Sonrasında Tablo 3'te belirtilen adımlar izlenerek 60 çevrim tamamlanmıştır.

Tablo 3. Donma-çözülme deney adımları [24].

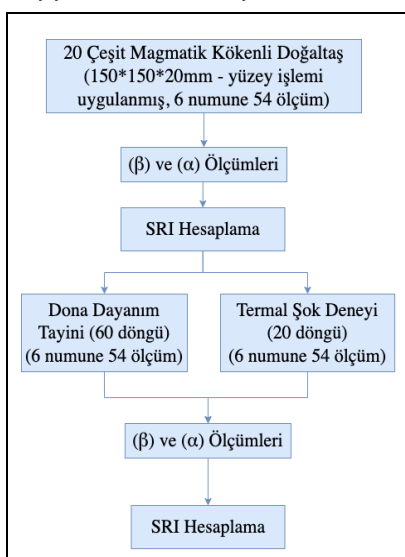
Table 3. Steps of freeze-thaw test.

Deney Adımı	Numune Sıcaklığı	Süre
Döngünün başlangıcı (T_0)	$\geq +5^\circ\text{C} \leq +20^\circ\text{C}$	T_0
Kademeye 1	$\leq 0^\circ\text{C} \geq -8^\circ\text{C}$	$T_0 + 2.0$ saat
Kademeye 2	$\leq -8^\circ\text{C} \geq -12^\circ\text{C}$	$T_0 + 6.0$ saat
Kademeye 3 ($T_0 + 6.5$ saatte kadar)	Tam daldırma	$T_0 + 6.5$ saat
Kademeye 4	$\geq +5^\circ\text{C} \leq +20^\circ\text{C}$	$T_0 + 9.0$ saatte kadar
Kademeye 5	$\geq +5^\circ\text{C} \leq +20^\circ\text{C}$	$T_0 + 12.0$ saat

2.2.4 Güneş ışığı yansıtma indeksinin belirlenmesi

2.2.4.1 Güneş ışığı yansıtma değerleri (β) ve termal yayılım (ϵ) değerlerinin ölçümü

Numunelerin Güneş ışığı Yansıtma İndeks (Solar Reflectance Index, SRI) değerlerinin belirlenmesi için Güneş ışığı Yansıtma değerleri (β) (solar reflectance) ve Termal Yayılım (ϵ) (thermal emissivity) değerleri farklı atmosfer koşullarında (termal şok ve donma çözülme) belirlenmiştir. Termal şok ve donma-çözülme deneyleri öncesi ve sonrasında yüzey işlemi görmüş numunelerin Güneş ışığı Yansıtma (β) ve Termal Yayılım (ϵ) ölçümleri yapılmıştır. Numunelerin Güneş ışığı Yansıtma İndeks (SRI) değerlerinin belirlenmesi için izlenen yol Şekil 4'teki akış şemasında verilmiştir.



Şekil 4. Numunelerin SRI değerlerinin belirlenmesi için izlenen akış şeması.

Figure 4. Flowchart for determining SRI values of samples.

Deney numuneleri eşit yüzey alanına sahip karelere bölünerek bu bölgelerden orijinal numuneler üzerinde β ölçümleri alınmıştır. Daha sonra farklı atmosfer koşulları altında (donma-çözülme ve termal şok) yaşlandırılan numuneler üzerinden tekrar β ölçümleri alınmıştır. Her bir karedede yapılan ölçümlerin (bir numune üzerinde 9 adet ölçüm) aritmetik ortalaması alınarak numunenin yaşlandırma öncesi ve yaşlandırma sonrası ortalama β değerleri belirlenmiştir. Böylece numune yüzey özelliklerine bağlı olarak 20 farklı magmatik kökenli doğal taşın β değerleri ölçülmüştür. β değerleri 0 ile 1 arasında değişmekte ve bu değerin 1'den çıkarılmasıyla ($\alpha=1-\beta$) Güneş

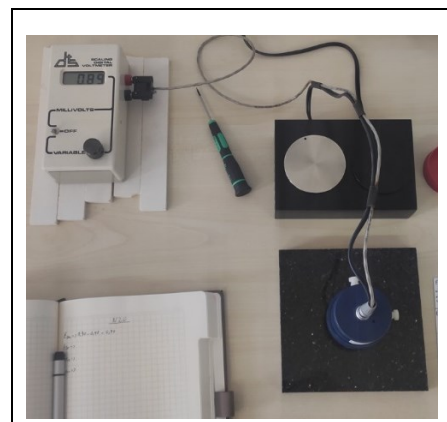
ışığı Soğurma (α) (solar absorption) değeri elde edilmektedir. Elde edilen α değeri SRI değerinin hesaplanması sırasında kullanılmaktadır. Numunelerin güneş ışığı yansıtma (solar reflectance) (β) değerlerini ölçmek için Solar Spectrum Reflectometer cihazı (Şekil 5) kullanılmış ve ölçümler ASTM C1549-16 (2022) standartına [25] göre yapılmıştır.



Şekil 5 Numunelerin β değerlerinin solar spectrum reflectometer cihazı ile ölçümü.

Figure 5. Measurement of β values of samples using solar spectrum reflectometer device.

SRI değerinin hesaplanması sırasında dikkate alınan bir diğer parametre ise ısıl yayılım (ϵ) (thermal emissivity) değerleridir. Bu değer Şekil 6'da verilen ısıl yayılım cihazı (termal emissometer) ile ölçülmüştür.



Şekil 6. ısıl yayılımı cihazı (termal emissometer) ile deney numunesinin ϵ değerlerinin ölçümü.

Figure 6. Measurement of ϵ values of the test sample using Thermal Emissometer device.

Yüzeylerin ısıl yayılım niceligi geçilirken, ölçüm prosedürü ASTM C1371-04 (2015) [26] ve ASTM E408 (2019) [27] standartları tarafından düzenlenir. ısıl yayılım cihazı, 355K sıcaklığı kadar bir elektrik güç sağlayıcısı tarafından ısıtılan, küçük çaplı (50 mm) dairesel bir kafadan oluşur. Ölçüm sırasında, numune yüzeyi ve ölçüm kafası yüzeyi, tüm kafayı kaplayan ve kullanımını kolaylaştıran plastik silindirin dairesel taci ile sınırlanan bir hava tabakası ile ayrı kalır. Numune ısıl iletkenliği, $0.00091 \text{ m}^2 \text{ K/W}$ dan daha düşük bir ısıl dirence karşılık gelen $1100 \text{ W/m}^2 \text{ K}$ dan yüksek olmalıdır. Termal emisyonu nicelleştirme prosedürü, okumayı düşük ve yüksek emisyon standartının emisyonuna eşit olacak şekilde ayarlamak için cihaz kalibrasyonunu ve ardından numune emisyonunun ölçülmesini içerir.

2.2.4.2 Güneş ışığı yansıtma indeks (SRI) değerinin hesaplanması

Numunelerin SRI değerlerinin hesaplanması ASTM E1980-11 (2019) Standardında [28] öngörülen prosedür izlenerek 8 ve 9 No.lu denklemler yardımıyla gerçekleştirilmiştir.

ASTM E1980-11 (2019) standardında tanımlanan güneş yansıtması ve çevre şartlarına göre SRI denklemi;

$$SRI = 123.97 - 141.35x + 9.655x^2 \quad (8)$$

Denklemine dönüştükçe olup buradaki x değeri,

$$x = \frac{(a - 0.029\epsilon)(8.797 + h)}{9.5205\epsilon + h} \quad (9)$$

Denklemi ile hesaplanmaktadır.

ϵ : Termal yayılım,

β : Güneş ışığı yansıtma,

α : Güneş ışığı emilimi=1- Güneş ışığı yansıtma değerleri,

h Isı taşınım katsayısi, $W/m^2 \cdot K$

Hesaplanan SRI değerinin 100'ün üzerinde bir değer belirlenme ihtimali bulunabilmektedir. Malzemelerin alabileceği SRI sınır değerleri ASTM E1980-11 (2019)'da detaylı olarak tanımlanmıştır. Bunun yanında literatürdeki daha önce gerçekleştirilen çalışmalar incelendiğinde hesaplanan SRI değerlerinin bazı malzemelerde 100'ün üzerinde (104, 107, 114 gibi) olduğu görülmektedir.

ASTM E1980-11 (2019) standardında önerilen düşük ($0-2 m/s$), orta ($2-6 m/s$) ve yüksek ($6-10 m/s$) rüzgâr koşulları göz önünde bulundurularak taşınım katsayısi (h) değeri 5, 12 ve $30 W/m^2K$ olarak ayrı ayrı dikkate alınmıştır. Her bir h durumu için tüm yaşılandırma koşulları öncesi ve sonrasında β ve ϵ ölçümleri yapılan numunelerin SRI değerleri hesaplanmıştır. Bu çalışmada SRI hesaplamaları yaz mevsiminde en çok yaşanan rüzgârsız durgun hava ($h=5 W/m^2K$) koşullarına göre yapılmıştır.

Yaşılandırma deneylerinin doğal taş numuneleri üzerindeki SRI değişimlerini incelemek için 20 çeşit magmatik kökenli doğal taş numunesinin yaşılandırma deneyleri öncesi (orijinal) ve sonrası SRI değerlerindeki değişimler ve birbirlerine göre göreceli olarak karşılaştırmaları için 10 nolu denklem kullanılmıştır [29].

$$\Delta SRI = SRI_s - SRI_{\delta} \quad (10)$$

Eşitlikte ΔSRI , başlangıç ve deneyler sonrası SRI farkıdır. SRI_{δ} , yaşılandırma deneyleri öncesi, SRI_s ise yaşılandırma deneyleri sonrası SRI değerleridir.

Alchapar ve diğ. (2013) [29], SRI farkları ± 5 'den küçük olduğunda malzemelerin ısıl davranışlarının sabit olduğunu belirlemek için bir değerlendirme yapmışlar ve başlangıçtaki SRI değeri, yaşılanan malzemenin SRI değerinden daha düşük olmasının istenen bir durum olduğunu ifade etmişlerdir. Tersi durumda ise kentsel sıcaklıklar düşürme kabiliyeti zayıf malzemeler olarak sınıflandırılmışlardır. Böylelikle, $\Delta SRI < -5$ ise "bozulmuş", $\Delta SRI \leq 5$ ise "kararlı" ve $\Delta SRI > +5$ ise "iyileşmiş" şeklinde tanımlanmıştır.

3 Bulgular ve tartışmalar

Çalışma kapsamında farklı yaşılandırma koşullarına (donma çözülme ve termal şok) tabi tutulmuş ve yüzey işlemleri uygulanmış 20 farklı magmatik kökenli doğal taşın SRI değerlerinin birbirlerine göre karşılaştırılması sütun grafikleri

üzerinde verilmiştir. Güneş ışınımlarının en yoğun olduğu zaman aralıklarında rüzgâr durumunu temsil eden $h=5 W/m^2K$ değeridir. Rüzgâr hızının artması durumunda *coğunlukla* SRI değerlerinin *bir miktar arttığı* görülmektedir. Çizelge ve grafiklerde dona dayanım deneyleri öncesinde yapılan ölçümler (DÖ), sonrası yapılan ölçümler (DS) olarak belirtilmiş olup, termal şok öncesi yapılan ölçümler (TÖ), termal şok sonrası yapılan ölçümler (TS) olarak belirtilmiştir.

3.1 Yaşılandırma deneylerinin renk özelliklerini üzerine etkileri ve SRI ile ilişkileri

Yaşılandırma deneyleri öncesi ve sonrası gerçekleştirilen renk ölçümleri Tablo 4 ve Tablo 5'te verilmiştir.

Tablo 4. Numunelerin dona dayanım öncesi ve sonrası renk tayini sonuçları (L: beyaz ve siyaha kayma. (a): Yeşile ve kırmızıyla kayma. (b): Maviye ve sarıya kayma).

Table 4. Results of color determination for samples before and after freeze-thaw resistance testing (L: Shift to white and black. (a): Shift to green and red. (b): Shift to blue and yellow).

No	(L)		(a)		(b)	
	DÖ	DS	DÖ	DS	DÖ	DS
N1	48.57	48.75	-9.17	-10.55	23.05	23.12
N2	52.36	53.27	-11.49	-13.81	-1.32	-1.55
N3	53.78	52.33	-8.72	-10.34	-5.94	-6.29
N4	50.06	50.27	-9.42	-9.69	10.34	11.02
N5	52.00	51.73	-5.78	-6.57	5.13	7.77
N6	50.34	50.22	-11.67	-11.71	7.28	6.83
N7	57.55	59.04	-23.65	-27.74	-9.71	-9.25
N8	50.54	50.49	-10.54	-10.35	5.84	6.04
N9	38.10	37.70	6.91	8.81	6.60	6.06
N10	44.17	45.77	-15.48	-19.72	15.78	18.55
N11	39.09	40.55	-2.20	-6.53	11.81	12.76
N12	50.70	50.72	-15.46	-15.13	6.28	6.56
N13	42.00	39.79	-7.48	0.30	13.40	11.33
N14	35.62	36.10	16.46	15.27	6.20	6.69
N15	49.24	48.27	-11.46	-7.35	23.95	22.13
N16	51.24	51.21	-5.26	-5.62	-3.91	-2.46
N17	60.05	59.72	-29.70	-30.18	-3.75	-2.97
N18	51.40	53.31	5.01	1.03	11.29	8.17
N19	57.51	58.74	-12.75	-17.97	26.39	26.63
N20	38.40	41.48	4.54	-7.10	7.65	12.66

Tablo 5. Numunelerin termal şok öncesi ve sonrası renk tayini sonuçları (L: beyaz ve siyaha kayma. (a): Yeşile ve kırmızıyla kayma. (b): Maviye ve sarıya kayma).

Table 5. Results of color determination for samples before and after thermal shock testing (L: Shift to white and black. (a): Shift to green and red. (b): Shift to blue and yellow).

No	(L)		(a)		(b)	
	TÖ	TS	TÖ	TS	TÖ	TS
N1	48.55	48.15	-9.27	-6.56	23.21	22.88
N2	50.35	54.69	-11.96	-15.19	-2.02	-5.18
N3	53.79	52.51	-8.81	-6.41	-5.90	-3.02
N4	49.96	50.31	-10.61	-8.73	13.01	10.66
N5	52.85	55.15	-8.21	-13.40	5.22	5.34
N6	50.21	50.29	-10.64	-10.40	7.14	5.34
N7	57.60	57.92	-23.58	-24.22	-9.53	-9.31
N8	50.82	49.96	-12.44	-12.78	7.52	9.78
N9	38.13	37.78	6.05	9.87	6.59	6.12
N10	43.88	43.93	-15.48	-19.92	15.90	18.67
N11	39.34	41.26	1.20	-5.46	8.72	12.32
N12	50.67	50.71	-14.87	-13.38	6.16	6.02
N13	40.28	39.31	-5.18	-2.96	12.52	10.89
N14	35.96	35.03	12.78	14.53	7.03	6.79
N15	48.42	48.10	-7.66	-7.76	21.92	22.93
N16	53.17	52.79	-10.53	-10.19	-4.05	-2.29
N17	59.84	60.24	-30.11	-30.57	-4.80	-3.42
N18	52.27	53.59	1.69	1.04	9.31	7.93
N19	53.42	56.13	-0.23	-5.91	26.74	27.52
N20	37.56	40.97	7.17	-3.37	6.55	11.50

Çalışma kapsamında kullanılan farklı jeolojik oluşumlara sahip 20 çeşit magmatik kökenli doğal taşın renk değişim (ΔE) değerleri Tablo 6'da belirtilmiştir.

Dona çözülme ve termal şok deneylerine tabi tutulan örnekler deneyler başlamadan önce (orijinal) ve çevrimler sonrasında beyaz ve siyaha kayma (L), yeşile ve kırmızıya kayma (a), maviye ve sarıya kayma (b) ölçümleri yapılmıştır. Bu ölçümler sonucunda yaşlandırma testleri öncesi ve sonrası değişimler ve bu değişimlerin SRI değerleri ile olan ilişkileri belirlenmiştir. Dona dayanım öncesi ve sonrasında ölçülen beyaza kayma (L) değerlerinin değişimleri Şekil 7'de, yeşile ve kırmızıya kayma (a) Şekil 8'de ve maviye ve sarıya kayma (b) değerlerindeki değişimler Şekil 9'da verilmiştir. Değerlerinde artış olan örnekler yukarı oklu ve yeşil renkli olarak grafik üzerinde belirtilmiştir. Değerlerinde azalış olan örnekler ise aşağı oklu ve kırmızı renkli olarak grafik üzerinde belirtilmiştir.

Örneklerin "L" değerlerinde artış olması renginin beyaza daha çok yaklaştığı yer yer solma veya açıklasma görüldüğü anlamına gelmektedir. Azalış olan örneklerde ise rengin siyaha kaydığını anlamına gelmektedir.

"a" değerinde artış olan örneklerin renginin kırmızıya kaydığını, azalış olan numunelerin ise renginin yeşile kayma eğiliminde olduğu görülmektedir.

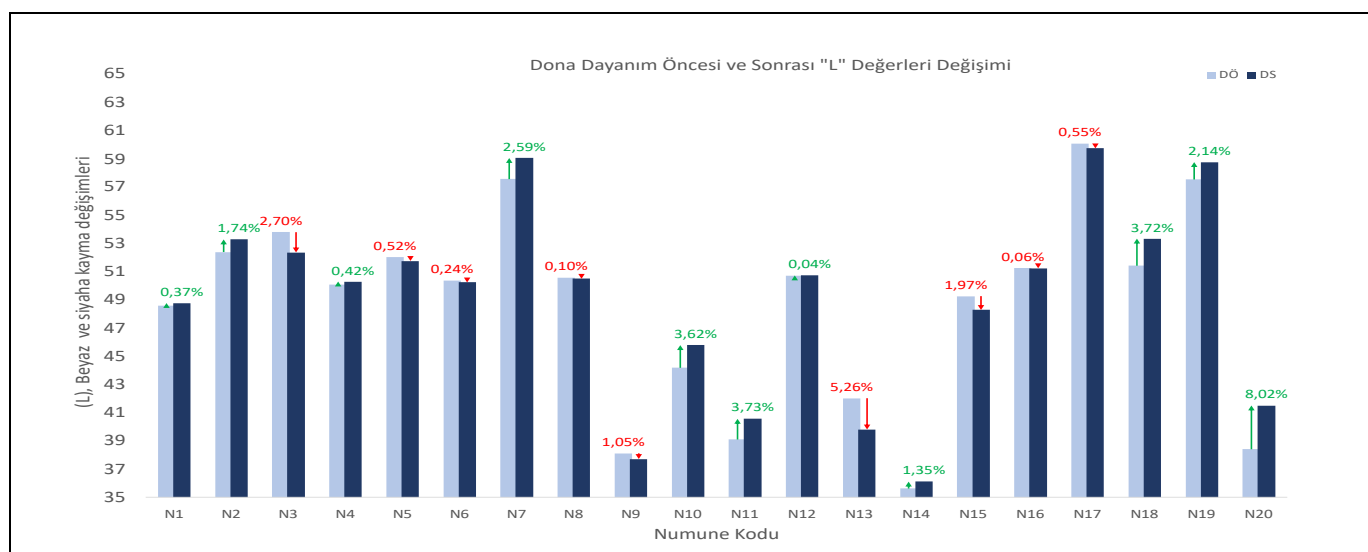
"b" değerinde artış olan örneklerin renginin maviye kayma eğiliminde olduğu, azalış olan numunelerin renginin ise sarıya kayma eğiliminde olduğu görülmektedir.

Termal şok öncesi ve sonrasında ölçülen beyaza kayma (L) değerlerinin değişimleri Şekil 10'da, yeşile ve kırmızıya kayma (a) Şekil 11'de ve maviye ve sarıya kayma (b) değerlerindeki değişimler Şekil 12'de verilmiştir.

Tablo 6. Numunelerin dona dayanım ve termal şok sonrası renk değişimleri (ΔE) sonuçları

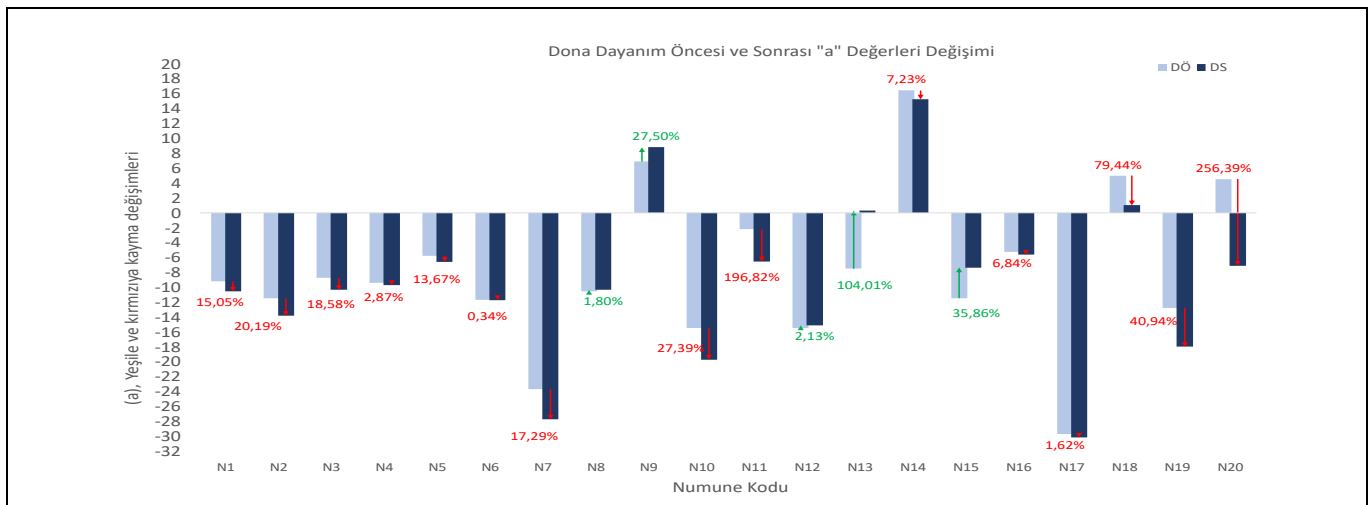
Table 6. Results of color changes (ΔE) for samples after freeze-thaw resistance and thermal shock testing.

No	Dona Dayanım (ΔE)	Termal Şok (ΔE)
N1	1.39	2.76
N2	2.50	6.27
N3	2.20	3.96
N4	0.76	3.03
N5	2.77	5.68
N6	0.47	1.82
N7	4.38	0.75
N8	0.28	2.44
N9	2.02	3.86
N10	5.31	5.23
N11	4.67	7.81
N12	0.43	1.50
N13	8.35	2.92
N14	1.37	2.00
N15	4.60	1.06
N16	1.49	1.83
N17	0.97	1.51
N18	5.41	2.02
N19	5.37	6.34
N20	13.04	12.13

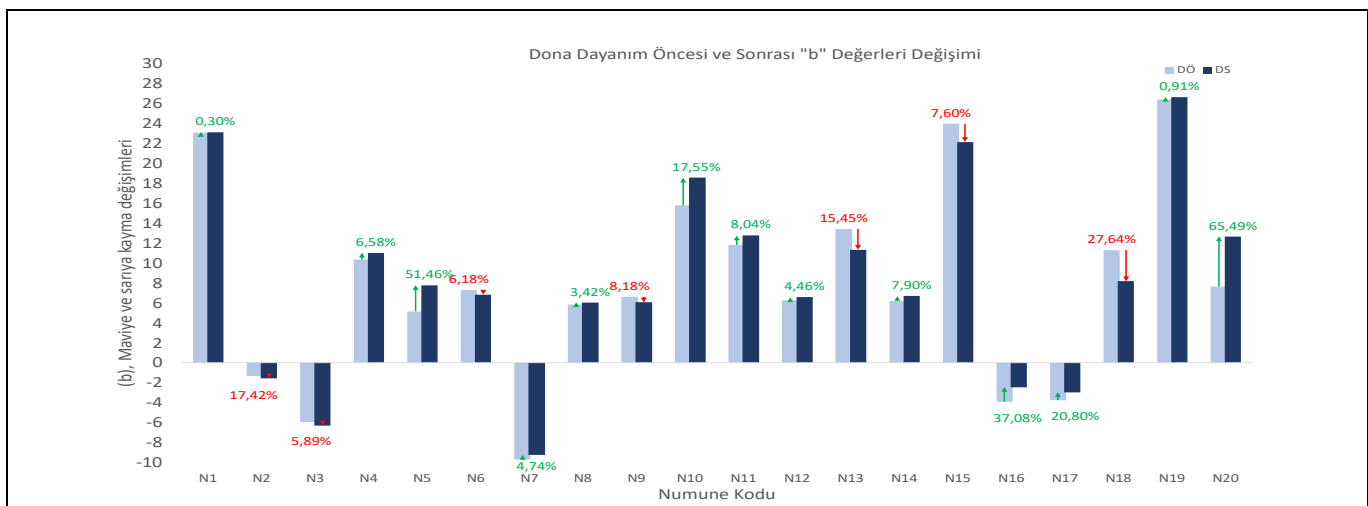


Şekil 7. Dona dayanım öncesi ve sonrası "L" değerleri değişimi.

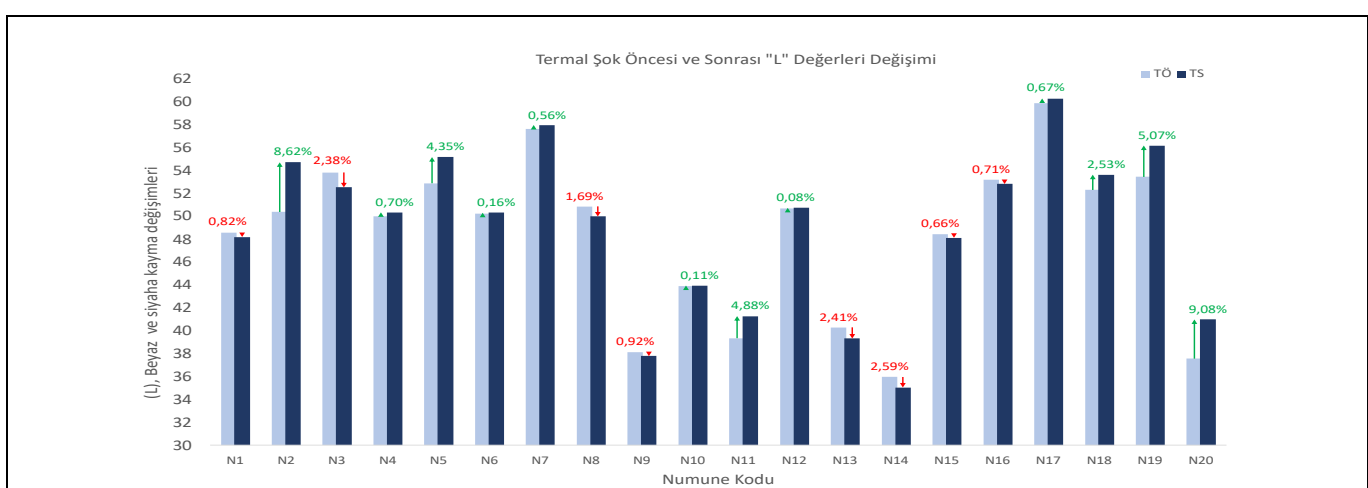
Figure 7. Change in "L" values before and after freeze-thaw resistance.



Şekil 8. Dona dayanım öncesi ve sonrası "a" değerleri değişimi.
Figure 8. Change in "a" values before and after freeze-thaw resistance.



Şekil 9. Dona dayanım öncesi ve sonrası "b" değerleri değişimi.
Figure 9. Change in "b" values before and after freeze-thaw resistance.



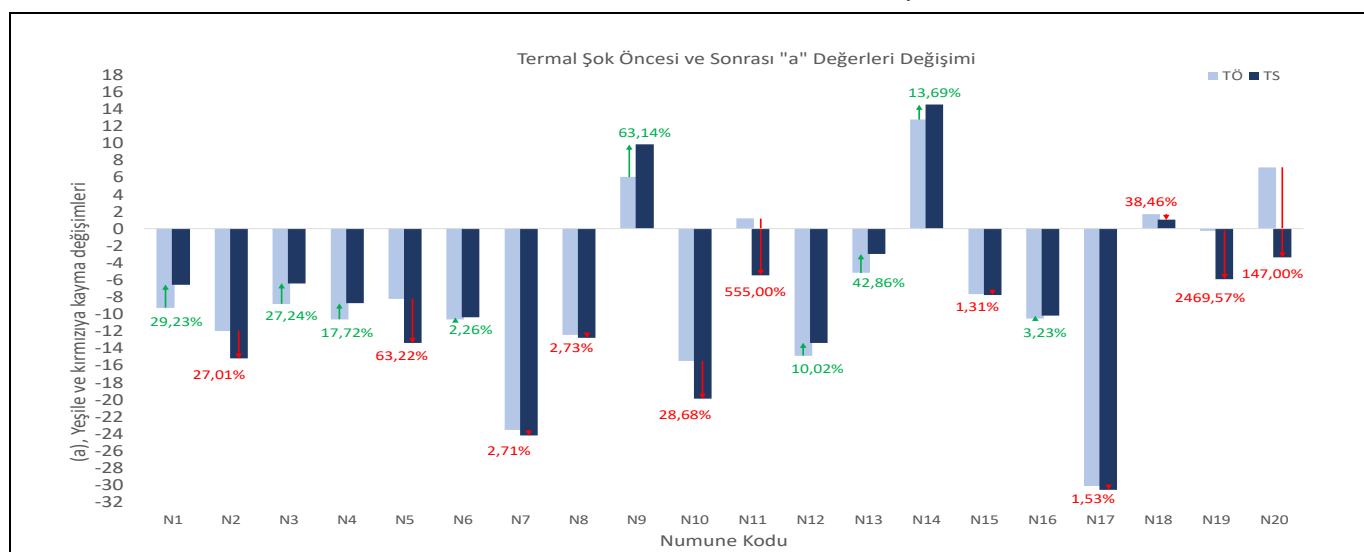
Şekil 10. Termal şok öncesi ve sonrası "L" değerleri değişimi.
Figure 10. Change in "L" values before and after thermal shock.

Renk değişimlerinden L (beyaz ve siyaha kayma) değerleri dona dayanım (+0.91) ve termal şok (+0.59) testlerinde yükselme (beyaza kayma) eğilimi görülmüştür (Şekil 7 ve Şekil 10). Renk değişimlerinden a (yeşile ve kırmızıya kayma) değerleri dona dayanım (-1.38), ve termal şok (-1.05) testlerinde az miktarda azalış (yeşile kayma) eğilimi görülmüştür (Şekil 8 ve Şekil 11).

Renk değişimlerinden b (maviye ve sarıya kayma) değerleri dona dayanım (+0.37) ve termal şok (+0.51) testlerinde yükseliş (sarıya kayma) eğilimi görülmüştür (Şekil 9 ve Şekil 12).

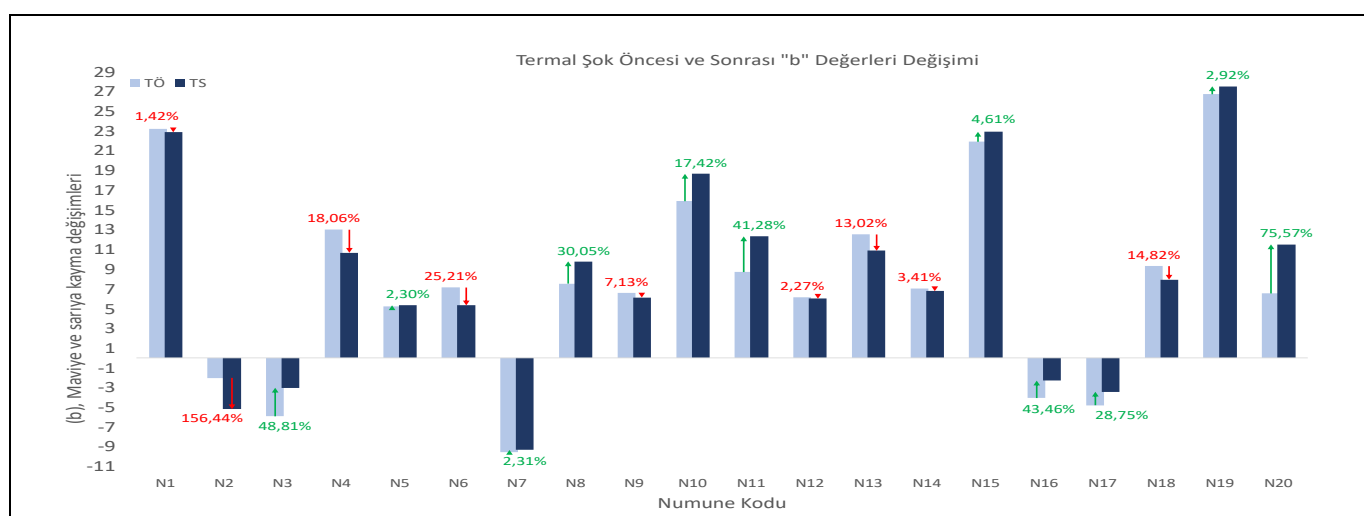
Yukarıda tespit edilen renk değişimleri, donma çözülme ve termal şok yaşılandırmalarının örneklerin yüzeylerinde bozulmalara neden olduğu için gerçekleştiği görülmektedir. ΔE değerleri doğal taşların renk uzayının tamamına (L, a, b)

karşılık gelen değişimi sayısallaştırmak amacıyla hesaplanmıştır. Yaşılandırma testleri sonucu ölçülen renk değişimleri (ΔE) Şekil 13 üzerinden incelendiğinde numunelerin genellikle A3 bölgesinde kaldığı görülmektedir. Bu alanda kalan numunelerin yaşılandırma testleri sonrasında yüzey renk değişimleri “bir bakışta algılanabilir” seviyede olduğu belirlenmiştir. A1 bölgesinde kalan doğal taşların yüzey renk değişimleri “insan gözüyle algılanamaz” seviyede, A2 bölgesinde “yakın gözlem yoluya algılanabilir” seviyede, A3 bölgesinde “bir bakışta algılanabilir” seviyede ve A4 bölgesindekilerin ise “renkler zittan daha benzer” seviyede olduğu tespit edilmiştir. Çalışma kapsamında renk ölçümleri yapılan 20 çeşit magmatik kökenli doğal taş numunesinin ölçüm sonuçlarının ortalamaları hesaplandığında ΔE değerleri dona dayanım sonrası için 3.39, termal şok sonrası için 3.75 olarak belirlenmiştir.



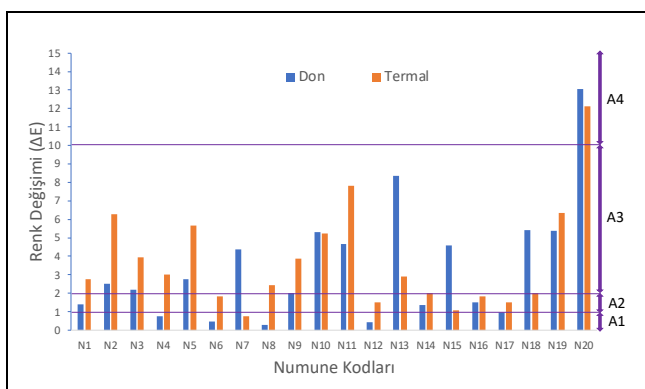
Şekil 11. Termal şok öncesi ve sonrası “a” değerleri değişimi.

Figure 11. Change in “a” values before and after thermal shock.



Şekil 12. Termal şok öncesi ve sonrası “b” değerleri değişimi.

Figure 12. Change in “b” values before and after thermal shock.



Şekil 13. Dona dayanım ve termal şok sonrası renk değişimi (ΔE) değerleri

Figure 13. Color change (ΔE) values after freeze-thaw resistance and thermal shock.

3.2 Yağlandırma koşullarına bağlı SRI değişimlerinin irdelenmesi

Yağlandırma koşullarına bağlı SRI değişimlerinin incelenmesi için iklimsel ve çevresel şartları temsil etmesi açısından dört temel yağlandırma testi gerçekleştirilmiştir. Soğuk ve sıcak iklim bölgeleri için donma çözülme ve termal şok deneylerinin sonuçları ayrı ayrı değerlendirilerek mukayeseleri yapılmıştır. Tüm numuneler üzerinde yağlandırma koşulları öncesi ve sonrası için her üç rüzgar durumuna göre yapılan hesaplamalar sonucu belirlenen SRI değerleri Tablo 7'de verilmiştir.

Tablo 7. Numunelerin dona dayanım ve termal şok deneyleri öncesi ve sonrası $h=5 \text{ W/m}^2\text{K}$ için hesaplanan Güneş Işıığı Yansıtma İndeks (SRI) değerleri (Sert, 2023)

Table 7. Calculated Solar Reflectance Index (SRI) values for samples before and after freeze-thaw resistance and thermal shock tests for $h=5 \text{ W/m}^2\text{K}$.

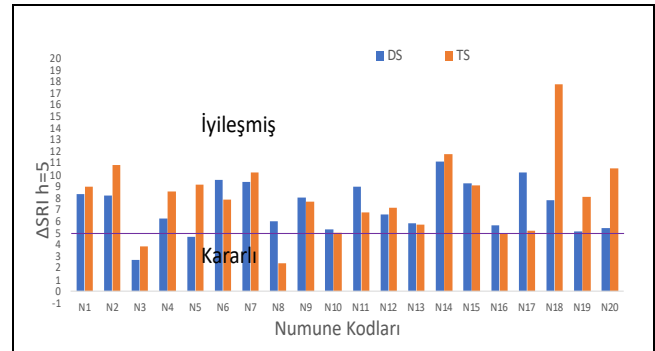
Numune Kodu	Dona Dayanım (ΔSRI)	Termal Şok (ΔSRI)
N1	8.33	8.96
N2	8.21	10.81
N3	2.67	3.85
N4	6.25	8.54
N5	4.64	9.15
N6	9.53	7.88
N7	9.40	10.22
N8	6.02	2.42
N9	8.03	7.70
N10	5.29	5.00
N11	8.98	6.75
N12	6.60	7.15
N13	5.80	5.74
N14	11.11	11.74
N15	9.28	9.06
N16	5.64	4.99
N17	10.19	5.20
N18	7.82	17.76
N19	5.15	8.07
N20	5.41	10.52

Şekil 14 incelediğinde numunelerin yağlandırma testleri sonrasında $h=5 \text{ W/m}^2\text{K}$ için ΔSRI değişim durumları aşağıdaki şekilde yorumlanabilmektedir;

Dona dayanım testleri sonrasında N3 ve N5 numuneleri kararlı aralıkta ($\Delta SRI < \pm 5$) bulunmakta olup diğer numunelerde iyileşme ($\Delta SRI > 5$) olduğu görülmektedir.

Termal şok sonrası N3, N8, N10 ve N16 numuneleri kararlı aralıkta ($\Delta SRI < \pm 5$) bulunmakta olup diğer numunelerde iyileşme ($\Delta SRI > 5$) olduğu görülmektedir.

Şekil 14'e göre $h=5 \text{ W/m}^2\text{K}$ için SRI değişiminin en fazla gerçekleştiği yaşlandırma koşulu **termal şok** olarak belirlenmiştir.



Şekil 14. $h=5 \text{ W/m}^2\text{K}$ için dona dayanım ve termal şok sonrası oluşan ΔSRI değişimi

Figure 14. ΔSRI change after freeze-thaw resistance and thermal shock for $h=5 \text{ W/m}^2\text{K}$.

Yağlandırma testleri öncesi ve sonrasında oluşan SRI değişimleri Tablo 8'de verilmiştir.

Tablo 8. Numunelerin dona dayanım ve termal şok deneyleri sonrasında SRI değişimleri (ΔSRI).

Table 8. SRI changes (ΔSRI) of samples after freeze-thaw resistance and thermal shock tests.

$h=5$	DÖ (%)	DS (%)	TÖ (%)	TS (%)
N1	9.986	18.319	10.075	19.038
N2	20.960	29.174	20.362	31.168
N3	33.627	36.297	32.375	36.223
N4	20.755	27.006	20.372	28.909
N5	22.928	27.570	23.688	32.838
N6	12.966	22.499	14.678	22.555
N7	27.099	36.494	27.828	38.045
N8	18.789	24.804	19.007	21.427
N9	0.775	8.804	1.100	8.804
N10	1.082	6.376	1.170	6.166
N11	-2.315	6.666	-0.077	6.673
N12	15.723	22.326	17.521	24.671
N13	3.594	9.397	3.364	9.099
N14	2.715	13.822	2.342	14.077
N15	18.154	27.432	18.859	27.923
N16	30.568	36.203	32.603	37.591
N17	31.048	41.240	36.248	41.447
N18	33.352	41.170	27.818	45.582
N19	39.887	45.041	37.253	45.323
N20	4.246	9.659	5.486	16.010

4 Sonuç ve değerlendirme

Çalışma kapsamında, farklı yapısal ve dokusal özelliklere sahip 20 çeşit magmatik kökenli doğal taşa ait numunelerin yağlandırma testleri öncesi ve sonrası renk ölçümü ile SRI değerlerinin hesaplamaları yapılmış ve birbirleri ile kıyaslanmıştır.

Magmatik kökenli doğal taşlar, sedimanter ve metamorfik kökenli karbonatlı doğal taşlara kıyasla daha heterojen bir yapıya sahiptir. Bu heterojenlik, magmatik kökenli doğal taşların içerdiği mineral çeşitliliğinin daha yüksek olmasından

kaynaklanmaktadır. Yüksek heterojenlik düzeyi, elde edilen sonuçların yorumlanması oldukça zorlaştırmıştır.

Çalışma kapsamında elde edilen sonuçlar aşağıda maddeler halinde özetlenmiştir.

- Yaşlandırma deneylerinden (dona dayanım ve termal şok) önce ve sonra, numunelerin $h=5 \text{ W/m}^2\text{K}$ için hesaplanan SRI değerleri incelendiğinde, yaşlandırma sonrası hesaplanan değerlerin öncesine göre daha yüksek olduğu tespit edilmiştir. Yaşlandırma sonrası doğal taşların yüzeylerinde oluşan SRI artışı nedeniyle kentsel yaşam alanlarında ısı adası oluşumu daha az olacak ve bu da yaşam alanlarındaki hissedilen hava sıcaklığındaki artışa daha az katkı sağlayacaktır,

$$\text{SRI Dona dayanım öncesi} < \text{SRI Dona dayanım sonrası}$$

$$\text{SRI Termal şok öncesi} < \text{SRI Termal şok sonrası}$$

- Yaşlandırma testleri sonrası SRI değerlerinin yükselmesinin başlıca nedeni yüzeye meydana gelen bozulmaların numunelerin yüzey rengini soldurması ve oluşan mikro çatlak ve gözenekler sayesinde numunelerin yüzey alanlarında görece artış meydana gelmesidir. Bu durum malzemenin yüzeyinden yansıtınan güneş ışığı miktarını artırmaktadır,
- Yaşlandırma testleri sonucunda renk değişimlerinden "L" (beyaz ve siyaha kayma) değerlerinin ortalaması alındığında yükseliş (**beyaza kayma eğiliminde**) oldukları belirlenmiştir. Yaşlandırma testleri arasındaki değişim ilişkisi aşağıdaki gibi derecelendirilmiş olup "L" değerlerinin değişimlerine **en çok dona dayanım** deneylerinin neden olduğu belirlenmiştir. Korelasyon ilişkilerine bakıldığına $h=5 \text{ W/m}^2\text{K}$ için ΔSRI ile renk değişimleri (L, beyaz ve siyaha kayma değişimleri) arasında dona dayanım sonrası bir ilişki olmadığı, termal şok sonrası ise orta seviyede bir ilişki ($r=0.56$) olduğu görülmüştür,

$$\Delta L \text{ Termal şok} < \Delta L \text{ Dona dayanım}$$

- Yaşlandırma testleri sonucunda renk değişimlerinden "a" (yeşile ve kırmızıya kayma) değerlerinin ortalaması alındığında azalış (**yeşile kayma eğiliminde**) oldukları belirlenmiştir. Yaşlandırma testleri arasındaki değişim ilişkisi aşağıdaki gibi derecelendirilmiş olup "a" değerlerinin değişimlerine **en çok dona dayanım**, deneyinin neden olduğu belirlenmiştir. Korelasyon ilişkilerine bakıldığına $h=5 \text{ W/m}^2\text{K}$ için ΔSRI ile renk değişimleri (a, yeşile ve kırmızıya kayma değişimleri) arasında dona dayanım sonrası ve termal şok sonrası bir ilişki olmadığı görülmüştür,

$$\Delta a \text{ Termal şok} < \Delta a \text{ Dona dayanım}$$

- Yaşlandırma testleri sonucunda renk değişimlerinden "b" (yeşile ve kırmızıya kayma) değerlerinin artış (**sarıya kayma eğiliminde**) oldukları belirlenmiştir. Yaşlandırma testleri arasındaki değişim ilişkisi aşağıdaki gibi derecelendirilmiş olup "b" değerlerinin değişimlerine **en çok termal şok** deneyinin neden olduğu belirlenmiştir. Korelasyon ilişkilerine bakıldığına $h=5 \text{ W/m}^2\text{K}$ için ΔSRI ile renk değişimleri (b, maviye ve sarıya kayma değişimleri)

arasında dona dayanım sonrası ($r=0.28$) ve termal şok sonrası ($r=0.40$) çok düşük seviyede bir ilişki olduğu görülmüştür,

$$\Delta b \text{ Dona dayanım} < \Delta b \text{ Termal şok}$$

- Çalışma kapsamında incelenen tüm örneklerin yaşlandırma testleri sonucunda renk uzayındaki değişimlerinin (ΔE) genel ortalamalarına bakıldığına aşağıdaki gibi derecelendirilmiştir. " ΔE " değerlerinin değişimlerine **en çok termal şok** deneylerinin neden olduğu belirlenmiştir,
$$\Delta E \text{ Dona dayanım} < \Delta E \text{ Termal şok}$$
- ΔE değerlerinin yaşlandırma koşulları sonrasında meydana gelen renk değişimleri numune bazında incelendiğinde büyük bir kısmının A3 sınıfında yanı değişimlerin "bir bakişa algılanabilir" seviyede olduğu belirlenmiştir. Bu değişimlerin genel olarak numunelerin içeriği mineral çeşitliliği ve mineral oranlarındaki farklılıklarından kaynaklandığı düşünülmektedir,
- Dona dayanım sonrası N3 ve N5 numunelerinin SRI değerleri kararlı aralıkta yer almaktadır. Soğuk iklimde sahip bölgelerdeki yapılarda kullanılan malzemelerin güneş ışınlarını daha az yansıtması istenmektedir. Bu nedenle soğuk iklimde sahip bölgelerde koyu renkli ve kararlı aralıkta olan doğal taşların kullanımı teşvik edilmelidir,
- Termal şok sonrası N3, N8, N10 ve N16 numunelerinin SRI değerleri kararlı aralıkta yer almaktadır. Sıcak iklimde sahip bölgelerdeki yapılarda kullanılan doğal taşların güneş ışınlarını daha fazla yansıtması istenmektedir. Bu nedenle sıcak iklimde sahip bölgelerde açık renge sahip ve kararsız bölgede olan doğal taşların kullanımı teşvik edilmelidir,
- Altındağ ve diğ. (2017) [30], çalışmalarda karbonat kökenli 30 çeşit doğal taşın dona dayanım ve termal şok testleri sonrasında ortaya çıkan ΔSRI değerlerinin grafik üzerinde incelenmesi sonucunda 6 çeşit numunenin "iyileşmiş" alanda, diğer tüm numunelerin ise $\Delta\text{SRI} \leq \pm 5$ ve $\Delta\text{SRI} > 5$ (kararlı+iyileşmiş alanda) olduğunu belirlemiştir. Aynı yaşlandırma testleri için çalışma kapsamında 20 çeşit magmatik kökenli doğal taş üzerinde yaptığıımız çalışmada sonucunda N3 ve N5 numunelerin kararlı aralıkta diğer tüm numunelerin ise iyileşmiş ve iyileşmiş+kararlı bölge içerisinde bulundukları belirlenmiştir. Bu veriler ışığında karbonat kökenli doğal taşlar ile magmatik kökenli doğal taşların SRI değerlerinin değişimleri açısından genellikle birbirlerinin tersi bir davranış sergilediği görülmüştür.

5 Conclusion

Within the scope of this study, color measurements and SRI calculations were performed on samples of 20 different types of magmatic natural stones with varying structural and textural properties, both before and after aging tests. The calculated SRI values were compared with each other. In SRI calculations, the air transport coefficient's effect was taken as $h=5 \text{ W/m}^2\text{K}$, assuming minimal or stagnant wind currents.

Magmatic natural stones have a more heterogeneous structure compared to sedimentary and metamorphic carbonate natural stones. This heterogeneity arises from the higher diversity of minerals present in magmatic natural stones. The high level of heterogeneity has made the interpretation of the obtained results quite challenging.

The results obtained within the scope of the study are summarized as follows:

- When examining the SRI values calculated for the samples before and after aging tests for $h=5 \text{ W/m}^2\text{K}$, it was determined that the calculated values after aging were higher than the values before aging. Due to the increase in SRI on the surfaces of natural stones after aging, the formation of heat islands in urban living areas will be reduced, resulting in less contribution to the perceived increase in air temperature in these living areas,
- The main reason for the increase in SRI values after aging tests is that the deterioration occurring on the surface causes the surface color of the samples to fade and the surface area of the samples increases relative to the resulting micro cracks and pores. This increases the amount of sunlight reflected from the surface of the material,
- When the average of "L" (shift from white to black) values from the color changes after aging tests was taken, it was determined that they showed an upward trend (shift towards white). The change relationship between the aging tests was ranked as follows, and it was determined that the freeze-thaw experiments caused the most significant changes in the "L" values. When examining correlation relationships, it was observed that there was no significant relationship between ΔSRI and color changes (ΔL , changes towards white and black) after freeze-thaw durability at $h = 5 \text{ W/m}^2\text{K}$, whereas a moderate-level relationship (0.56) was observed after thermal shock,

$$\Delta L_{\text{Thermal shock}} < \Delta L_{\text{Freeze-thaw}}$$

- When the average of "a" (shift from green to red) values from the color changes after aging tests was taken, it was determined that they showed a decrease trend (shift towards green). The change relationship between the aging tests was ranked as follows, and it was determined that the freeze-thaw experiment caused the most significant changes in the "a" values. When examining correlation relationships, it was observed that there was no relationship between ΔSRI and color changes (Δa , changes towards green and red) after freeze-thaw durability and after thermal shock at $h=5 \text{ W/m}^2\text{K}$,

$$\Delta a_{\text{Thermal shock}} < \Delta a_{\text{Freeze-thaw}}$$

- It was determined that the "b" (shift from green to red) values from the color changes after aging tests showed an increase trend (shift towards yellow). The change relationship between the aging tests was evaluated as follows, and it was determined that the thermal shock experiment caused the most significant changes in the "b" values. When examining correlation relationships at $h=5 \text{ W/m}^2\text{K}$, it was observed that there was a very low-level relationship

(0.28) between ΔSRI and color changes (Δb , changes towards blue and yellow) after freeze-thaw durability and a very low-level relationship (0.40) after thermal shock,

$$\Delta b_{\text{Freeze-thaw}} < \Delta b_{\text{Thermal shock}}$$

- When the changes in the color space (ΔE) of all samples examined within the scope of the study after aging tests are evaluated in terms of their overall averages, the following ranking is determined, indicating that the changes in ΔE values are primarily caused by thermal shock experiments,

$$\Delta E_{\text{Freeze-thaw}} < \Delta E_{\text{Thermal shock}}$$

- When the color changes occurring after aging conditions were examined on a sample basis, it was determined that a large portion of them fell into Class A3, meaning the changes were at a 'perceptible at a glance' level. These changes are generally believed to originate from differences in the mineral variety and mineral ratios contained within the samples,
- After cold resistance, the SRI values of samples N3 and N5 are within the stable range. It is desirable for materials used in structures in cold-climate regions to reflect less solar radiation. Therefore, the use of dark-colored and stable range natural stones is encouraged in cold-climate regions,
- After thermal shock, the SRI values of samples N3, N8, N10, and N16 are within the stable range. It is desirable for natural stones used in structures in hot-climate regions to reflect more solar radiation. Therefore, the use of light-colored and unstable range natural stones is encouraged in hot-climate regions,
- In their study, Altındağ et al. (2017) [30] examined the ΔSRI values obtained after freeze-thaw and thermal shock tests on 30 different types of carbonate-origin natural stones, and they determined that 6 samples were in the "improved" range, while all other samples were within $\Delta SRI \leq \pm 5$ and $\Delta SRI > 5$ (stable+improved range) on the graph. In the study conducted on 20 different types of magmatic-origin natural stones for the same aging tests, it was determined that samples N3 and N5 were in the stable range, while all other samples were in the improved and improved+stable range. In light of these data, it can be observed that carbonate-origin natural stones and magmatic-origin natural stones generally exhibit opposite behavior in terms of changes in their SRI values.

6 Yazar katkı beyanı

Bu çalışmada Murat SERT fikrin oluşturulması, deneySEL çalışmalar, literatür araştırmaları ve sonuçların değerlendirilmesi başlıklarında; Raşit ALTINDAĞ fikrin geliştirilmesi, deneySEL çalışmaların yorumlanması ve yönlendirilmesi, sonuçların analiz edilmesi ve yazım denetimleri alanlarında katkı sunmuştur.

7 Etik kurul onayı ve çıkar çatışması beyanı

"Hazırlanan makalede etik kurul izni alınmasına gerek yoktur". "Hazırlanan makalede herhangi bir kişi/kurum ile çıkar çatışması bulunmamaktadır".

8 Kaynaklar

- [1] Theophilou MK, Serghides D. "Estimating the characteristics of the urban heat island effect in nicosia, cyprus, using multiyear urban and rural climatic data and analysis". *Energy and Buildings*, 108, 137-144, 2015.
- [2] Tsoka S. Relations Entre Morphologie Urbaine, Microclimate et Confort des Piétons: Application au Cas des Ecoquartiers. MSc Thesis, Centre Scientifique et Technique du Bâtiment [CSTB], Nantes, France, 2011.
- [3] Matheus AS, Khandelwal S, Kaul N. "Spatial and temporal variations of urban heat island effect and the effect of percentage impervious surface area and elevation on land surface temperature: Study of Chandigarh City, India". *Sustainable Cities and Society*, 26, 264-277, 2016.
- [4] Sert M. Farklı Yüzey Özelliklerine Sahip Magmatik Kökenli Doğal Taşların Yaşılandırma Koşullarına Bağlı Olarak Güneş Işığı Yansıtma İndeks (SRI) Değerlerinin Değişimini İncelenmesi. Doktora Tezi, Süleyman Demirel Üniversitesi, Isparta, Türkiye, 2023.
- [5] Levinson R, Akbari H, Konopacki SJ, Bretz S. "Inclusion of cool roofs in nonresidential prescriptive requirements" *Energy Policy*, 33(2), 151-170, 2005.
- [6] Young R. "Cool roofs: light-colored coverings reflect energy savings and environmental benefits". *Building Design and Construction*, 39(2), 62-64, 1998.
- [7] Akbari H, Konopacki SJ, Eley CN, Wilcox BA, Van Geem MG and Parker DS. "Calculations for reflective roofs in support of standard 90.1". *ASHRAE Transactions Symposium*, San Francisco, United States, 17-21 January 1998.
- [8] Akbari H, Levinson R, Stern S. "Procedure for measuring the solar reflectance of flat or curved roofing assemblies". *Solar Energy*, 82, 648-655, 2008.
- [9] Fanger PO. "Conditions for thermal comfort". *Thermal comfort and moderate heat stress, proceedings of the CIB Commission W45 (Human Requirements) Symposium*, England, 13-15 September 1972.
- [10] Yaşař Y, Pehlevan A, Altıntaş E. "İlköğretim dersliklerinde termal konfor araştırması". *8. Ulusal Tesisat Mühendisliği Kongresi*, İzmir, Türkiye, 25-28 Ekim 2007.
- [11] Streutker DR. "Satellite-Measured growth of the urban heat island of Houston Texas" *Remote Sensing of Environment*, 85, 282-289, 2003.
- [12] Duman Yüksel Ü, Yılmaz O. "Ankara kentinde kentsel ısı adası etkisinin yaz aylarında uzaktan algılama ve meteorolojik gözlemlere dayalı olarak saptanması ve değerlendirilmesi". *Gazi Üniversitesi Mühendislik Mimarlık Fakültesi Dergisi*, 23(4), 937-952, 2013.
- [13] Mirzaei P, Haghhighat F. "Approaches to study Urban Heat Island-Abilities and limitations". *Building and Environment*, 45, 2192-2201, 2010.
- [14] Chung MH, Park JC. "Development of PCM cool roof system to control urban heat island considering temperate climatic conditions". *Energy and Buildings*, 116, 341-348, 2016.
- [15] Canan F. "Kent geometrisine bağlı olarak kentsel ısı adası etkisinin belirlenmesi: Konya Örneği". *Çukurova Üniversitesi Mühendislik Mimarlık Fakültesi Dergisi*, 32(3), 69-80, 2017.
- [16] Haines A, Ebi K. "The imperative for climate action to protect health". *The New England Journal of Medicine*, 380, 263-73, 2019.
- [17] Tong S, Ebi K, "Preventing and mitigating health risks of climate change". *Environmental Research*, 174, 9-13, 2019.
- [18] Akin G. "Küresel ısınma, nedenleri ve sonuçları". *Ankara Üniversitesi Dil ve Tarih-Coğrafya Fakültesi Dergisi*, 46(2), 29-43, 2006.
- [19] Türk Standartları Enstitüsü "Doğal Taşlar-Deney Yöntemleri-Petrografik İnceleme". Ankara, Türkiye, 12407, 2019.
- [20] American Society for Testing and Materials. "Standard Practice For Calculation of Colour Tolerances and Colour Differences From Instrumentally Measured Colour Coordinates". USA, ASTM D 2244-16, 2017.
- [21] NESAPOLIMER SAN. VE TİC. LTD. ŞTİ. "Renk Ölçümü Nedir?". <https://nesapolimer.com.tr/renk-olcumu-nedir/> (05.09.2022).
- [22] Hale PA ve Shakoor A. "A laboratory investigation of the effects of cyclic heating and cooling, wetting and drying, and freezing and thawing on the compressive strength of selected sandstones". *Environ EngGeosci*, 9(2), 117-130, 2003.
- [23] Türk Standartları Enstitüsü. "Doğal Taşlar-Deney Yöntemleri-İslil Şok Etkisiyle Yıpranmaya Direncin Tayini". Ankara, Türkiye, 14066, 2015.
- [24] Türk Standartları Enstitüsü. "Doğal Taşlar-Deney Yöntemleri-Dona Dayanım Tayini". Ankara, Türkiye, 12371, 2011.
- [25] American Society for Testing and Materials. "Standard Test Method for Determination of Solar Reflectance Near Ambient Temperature Using a Portable Solar Reflectometer". USA, ASTM C1549-16, 2022.
- [26] American Society for Testing and Materials. "Standard Test Method for Determination of Emittance of Materials Near Room Temperature Using Portable Emissometers". USA, ASTM C1371, 2015.
- [27] American Society for Testing and Materials. "Standard Test Methods for Total Normal Emittance of Surfaces Using Inspection-Meter Techniques". USA, ASTM E408, 2019.
- [28] American Society for Testing and Materials. "Standard Practice for Calculating Solar Reflectance Index of Horizontal and Low-Sloped Opaque Surfaces". USA, ASTM E1980-11, 2019.
- [29] Alchapar NL, Correa EN, Canton MA. "Solar reflectance index of pedestrian pavements and their response to aging". *Journal of Clean Energy Technologies*, 1(4), 281-285, 2013.
- [30] Altındağ R, Uğur İ, Şengün N, Akbay D, Demirdağ S, Coşgun A. "Doğal Taşların Fiziksel Bozundurma Koşulları Altında Farklı Yüzey ve Kayaç Özelliklerine Bağlı Olarak Güneş Işığını Yansıtma İndeks Değerlerinin Belirlenmesi ve Çevreci Kullanımına Yönelik Bir Model Oluşturulması". TÜBİTAK, Ankara, Türkiye, 114M569, 2017.